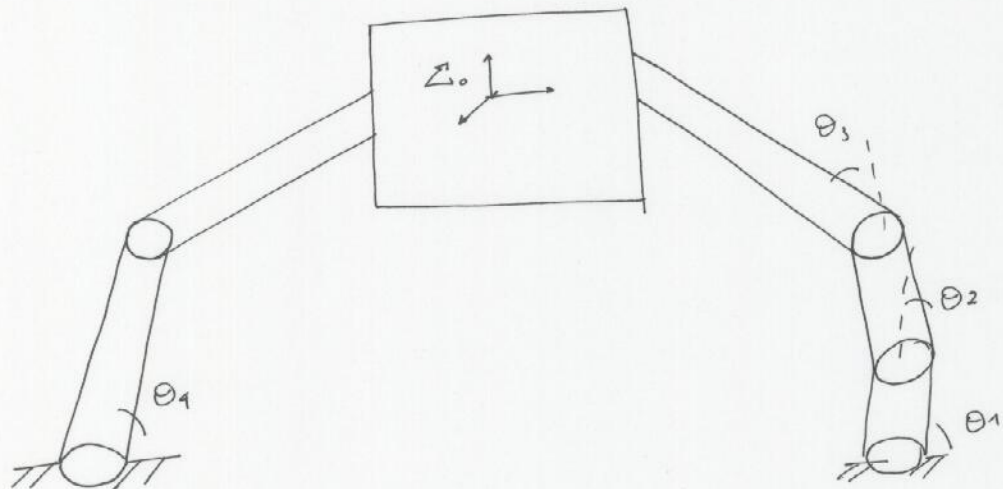


- CARATTERIZZARE LA DINAMICA del SISTEMA:



- passi che faremo:

(1) CARATTERIZZARE I PUNTI DI CONTROLLO  $\rightarrow \bar{F}$  sembra sta in quel punto

(2) CARATTERIZZARE I VINCOLI CINEMATICI

$$J_R \dot{\theta} = G^T \dot{x}$$

Vincoli cinematici sofforzati che leggono le velocità ai punti e la velocità dell'oggetto che stiamo maneggiando

$G \rightarrow$  Grasping matrix

(3) INSERIRE nella DINAMICA dei MANIPOLATORI VINCOLI CINEMATICI

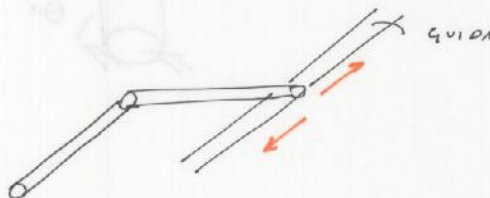
## SISTEMI DINAMICI VINCOLATI:

$$L(q, \dot{q}) \quad \frac{d}{dt} \frac{\partial L}{\partial \dot{q}} - \frac{\partial L}{\partial q} \overset{+text}{=} \tau$$

$q$ : coordinate generalizzate  
 $\tau$ : forze generalizzate

$$M(q) \ddot{q} + C(q, \dot{q}) \dot{q} + g(q) = \tau$$

→ modelliamo questo dinamico, tenendo conto che ci sono dei vincoli che agiscono sul sistema. Esempio: grido in cui ci possiamo muovere solo nella strada.



$$R(q) = \text{cost} \quad \rightarrow \text{errore} \pm \text{vincolo} \quad (\text{ci vuole errore lo guida})$$

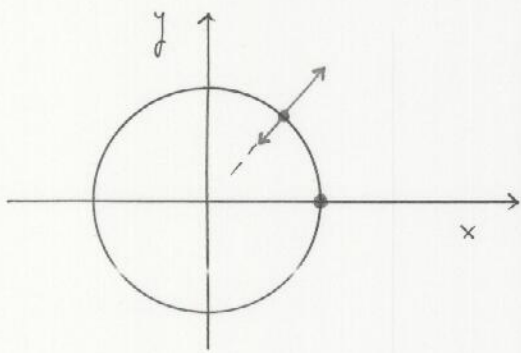
L'ambiente genera delle forze  $\perp$  alla superficie di vincolo:

$$\tau_{ext} = \left[ \frac{\partial L}{\partial \dot{q}} \right]^T \cdot \lambda$$

$\lambda$  → opportuno per parametrizzare il vincolo

Esempio curva superficie: circonference

→ se mi trovo sulla circonferenza, le  $\vec{F}$  di vincolo sono  $\perp$  per parametrizzare il vincolo



$$R(x, y) = x^2 + y^2 - R^2 = 0$$

$$\begin{bmatrix} \frac{\partial R}{\partial q} \\ \frac{\partial R}{\partial \dot{q}} \end{bmatrix}^T = \begin{bmatrix} \frac{\partial R}{\partial x} \\ \frac{\partial R}{\partial y} \end{bmatrix} = \begin{bmatrix} 2x \\ 2y \end{bmatrix}$$

La potenza totale è quindi come c'è nulla:

$$\tilde{v}_{ext} \cdot \dot{q} = \tilde{v}_{ext}^T \dot{q} = \lambda^T \underbrace{\frac{\partial R}{\partial q} \cdot \dot{q}}_{\frac{d}{dt} R(q)} = 0 \rightarrow \text{perche' c' l'ambiente e in genere}$$

$$R(q) = \text{const} \quad \xrightarrow{\frac{d}{dt}} \quad \frac{\partial R}{\partial q} \dot{q} = 0, \quad A(q) \dot{q} = 0$$

~~↙~~

↓

•  $\tilde{v}_{ext} = A^T(q) \lambda$

$$\underbrace{\frac{d}{dt} \frac{\partial L}{\partial \dot{q}} - \frac{\partial L}{\partial q} + A^T(q) \lambda}_{= \tau} = \tau$$

$$M(q) \ddot{q} + \underbrace{C(q, \dot{q}) \dot{q} + f(q)}_{n(q, \dot{q})} + A^T(q) \lambda = \tau \quad \Rightarrow \quad \dot{q} = M^{-1}(q) \left( \tau - n(q, \dot{q}) - A^T(q) \lambda \right)$$

$$A(q) \dot{q} = 0 \quad \xrightarrow{\frac{d}{dt}} \quad A(q) \ddot{q} + \dot{A}(q) \dot{q} = 0$$

$$A(q)M^{-1}(q)[\tau - n(q, \dot{q}) - A^T(q)\lambda] + \dot{\lambda}\dot{q} = 0$$

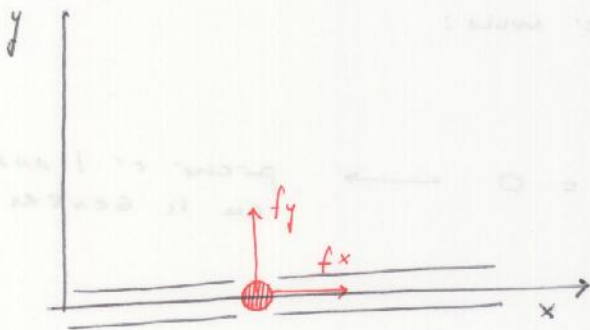
$$A(q)M^{-1}(q)A^T(q)\lambda = A(q)M^{-1}(q)[\tau - n(q, \dot{q})] + \dot{\lambda}(q)\dot{q}$$

$$\lambda = [A(q)M^{-1}(q)A^T(q)]^{-1} \left\{ A(q)M^{-1}(q)[\tau - n(q, \dot{q})] + \dot{\lambda}(q)\dot{q} \right\}$$

sostituendo, otteniamo la dinamica del non-rotatore vincolato:

$$M(q)\ddot{q} + n(q, \dot{q}) + A^T(q) \left[ A(q)M^{-1}(q)A^T(q) \right]^{-1} \left\{ A(q)M^{-1}(q)[\tau - n(q, \dot{q})] + \dot{\lambda}(q)\dot{q} \right\} = \tau$$

- Esempio: massa puntiforme che si muove nel piano XY, vincolata su un binotto sull'asse X



$$q = \begin{bmatrix} x \\ y \end{bmatrix}$$

$$L(q, \dot{q}) = \frac{1}{2}m(\dot{x}^2 + \dot{y}^2)$$

$$x = 0 \quad y = 0$$

$$R(x) = x \quad R(x, y) = y$$

$$\underbrace{\begin{bmatrix} \frac{\partial h}{\partial x} & \frac{\partial h}{\partial y} \end{bmatrix}}_{A(q)} \underbrace{\begin{bmatrix} \dot{x} \\ \dot{y} \end{bmatrix}}_{\dot{q}} = 0$$

$$A(9) = \begin{bmatrix} 0 & -1 \end{bmatrix}$$

$$\underbrace{\frac{d}{dt} \frac{\partial L}{\partial \dot{q}}}_{\begin{bmatrix} m\ddot{x} \\ m\ddot{y} \end{bmatrix}} - \frac{\partial L}{\partial q} + A^T \lambda = \begin{bmatrix} f_x \\ f_y \end{bmatrix}$$

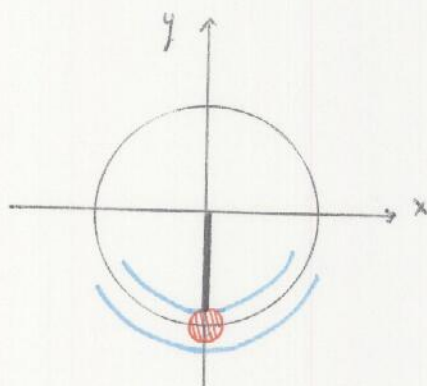
$$\lambda = \left[ \begin{bmatrix} 0 & -1 \end{bmatrix} \begin{bmatrix} 1/m & 0 \\ 0 & 1/m \end{bmatrix} \begin{bmatrix} 0 \\ 1 \end{bmatrix} \right]^{-1} \left\{ \begin{bmatrix} 0 & -1 \end{bmatrix} \begin{bmatrix} 1/m & 0 \\ 0 & 1/m \end{bmatrix} \begin{bmatrix} f_x \\ f_y \end{bmatrix} \right\}$$

$$= \left( \frac{1}{m} \right)^{-1} \frac{1}{m} f_y$$

$$\Rightarrow m\ddot{x} = f_x$$

$$m\ddot{y} + f_y = f_y$$

- Esempio: quale punto forme visualista a stare su una circonferenza



→ viene l'eq. di un pendolo

$$c(x, y) = 0 \quad x^2 + y^2 - b^2 = 0$$

$$\begin{bmatrix} w\ddot{x} \\ w\ddot{y} \end{bmatrix} + A^T(x, y)\lambda = \begin{bmatrix} f_x \\ f_y \end{bmatrix}$$

$$A(x, y) = \begin{bmatrix} \frac{\partial c}{\partial x} & \frac{\partial c}{\partial y} \end{bmatrix} = \begin{bmatrix} 2x & 2y \end{bmatrix}$$

$$\begin{bmatrix} w\ddot{x} \\ w\ddot{y} \end{bmatrix} + \begin{bmatrix} 2x \\ 2y \end{bmatrix} \cdot \lambda = \begin{bmatrix} f_x \\ f_y \end{bmatrix}$$

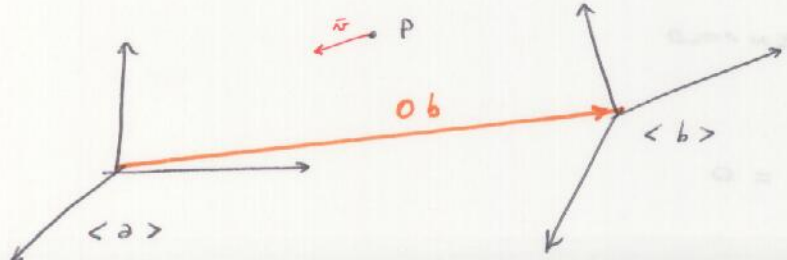
$$\lambda = \left\{ \left[ \begin{bmatrix} \frac{\partial c}{\partial x} & \frac{\partial c}{\partial y} \end{bmatrix} \begin{bmatrix} \frac{1}{m} & 0 \\ 0 & \frac{1}{m} \end{bmatrix} \begin{bmatrix} \frac{\partial c}{\partial x} \\ \frac{\partial c}{\partial y} \end{bmatrix} \right] \right\}^{-1} \left\{ \left[ \begin{bmatrix} \frac{\partial c}{\partial x} & \frac{\partial c}{\partial y} \end{bmatrix} \begin{bmatrix} \frac{1}{m} & 0 \\ 0 & \frac{1}{m} \end{bmatrix} \begin{bmatrix} f_x \\ f_y \end{bmatrix} + \right. \right.$$

$$\left. \left. + \begin{bmatrix} 2x & 2y \end{bmatrix} \begin{bmatrix} \ddot{x} \\ \ddot{y} \end{bmatrix} \right] \right\} =$$

$$= \left\{ \left( \frac{\partial c}{\partial x} \right)^2 \frac{1}{m} + \left( \frac{\partial c}{\partial y} \right)^2 \frac{1}{m} \right\} \left\{ \frac{1}{m} \frac{\partial c}{\partial x} \cdot f_x + \frac{1}{m} \frac{\partial c}{\partial y} \cdot f_y + 2\ddot{x}^2 + 2\ddot{y}^2 \right\}$$

vedi in corso MATLAB (out situ) e che si fa  
fine view E.p. PENDOLO

- Supponiamo di aver 2 sistemi di riferimento  $\langle a \rangle$  e  $\langle b \rangle$  se ho un punto  $P$  che "vive per i occhi noi", se lo scrivo in coordinate di  $a$  è  $P^a$



$P^a$ : coordinate di  $P$  in  $\langle a \rangle$

- $\omega_{ab}$ : velocità dell'origine  $L$  di  $\langle b \rangle$  rispetto ad  $\langle a \rangle$  espressa nel sistema di riferimento  $\langle a \rangle$
- $w_{ab}$ : deviazione della derivata della matrice di rotazione  $R_{ab}$  da  $\langle b \rangle$  ad  $\langle a \rangle$ .

$$\omega_{ab} = \frac{d}{dt} \Omega_b^a$$

$$\omega_{ab} \Rightarrow \dot{R}_{ab} = S(\omega_{ab}) R_{ab}$$

$\dot{R}_{ab} \cdot R_{ab}$  è antisimmetrica e può essere scritta come  $S(\omega_{ab})$

$$R_{ab} \cdot R_{ab}^T = I \implies \dot{R}_{ab} \cdot R_{ab} + R_{ab}^T \dot{R}_{ab} = 0$$

$$S(\omega_{ab}^B) = R_{ab}^T \cdot \dot{R}_{ab}$$

B → BODY

considernmo il punto P e scriviamo le sue velocità:

$$p^a = R_{ab} \cdot p^b + \Omega_b^a$$

$$\dot{p}^a = \underbrace{\dot{R}_{ab} \cdot p^b + R_{ab} \dot{p}^b}_{S(\omega_{ab}) R_{ab}} + \underbrace{\frac{d}{dt} (\Omega_b^a)}_{\omega_{ab}} = \underbrace{\omega_{ab} \times p^b + v_{ab}}_{(*)} + R_{ab} \dot{p}^b$$

$(\dot{p}^a)^b$  vogliamo trasformare  $\dot{p}^a$  in espresso in  $b$ :

$$(\dot{p}^a)^b = R_{ba} \cdot \dot{p}^a = (R_{ab})^T (S(\omega_{ab}) R_{ab} \dot{p}^b + R_{ab} \dot{p}^b + v_{ab})$$

$$= R_{ab}^T S(\omega_{ab}) R_{ab} \cdot p_b + \dot{p}^b + (R_{ab})^T v_{ab}$$

$$R^T S(\omega) R = S(R^T \omega)$$

$$(\dot{p}^b) = S \underbrace{(R_{ab}^T \omega_{ab})}_{\omega_{ab}^B} p_b + \dot{p}^b + \underbrace{(R_{ab})^T v_{ab}}_{v_{ab}^B} = \underbrace{\omega_{ab}^B \times p_b + v_{ab}^B}_{(*)} + \dot{p}^b$$

$$S(\omega_{ab}^B) = S(R_{ab}^T \omega_{ab}) =$$

$$= R_{ab}^T S(\omega_{ab}) R_{ab} = R_{ab}^T R_{ab} R_{ab}^T R_{ab} = R_{ab}^T R_{ab}$$

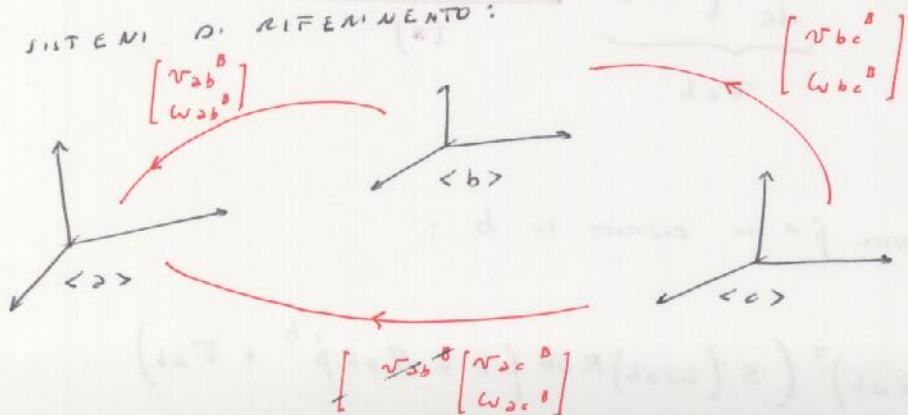
(\*) e (\*) sono nei 2 sistemi di riferimento

gi motivo di tutto ciò c'è se noi abbiamo un nostro riferimento che traccia un oggetto  
dal il punto di contatto che si muove fermo, ma ci sono due cose che

- mano: ✓ DITA
- ✓ L'OLLEGATO

→ Per questo è possibile dettare questo sistema di riferimento  
e riferirsi ad un altro sistema di riferimento inerziale  
(può rotolare) - sono tool che servono a trasformare le  
formule nello scelto dei sistemi di riferimento

3 SISTEMI DI RIFERIMENTO:



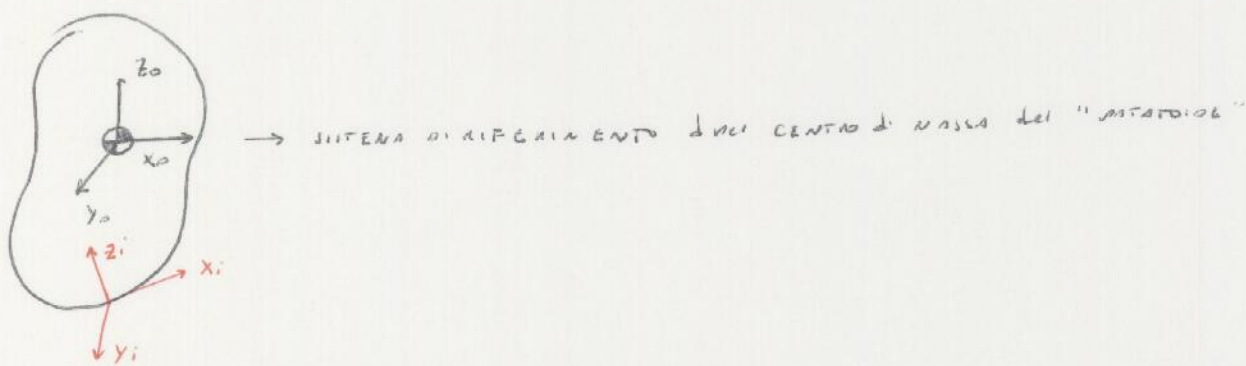
$$\begin{bmatrix} v_{ab}^B \\ \omega_{ab}^B \end{bmatrix} = \underbrace{\begin{bmatrix} R_{bc}^T & -R_{bc}^T S(O_c^b) \\ 0 & R_{bc}^T \end{bmatrix}}_{A d T_{cb}} \begin{bmatrix} v_{ab}^B \\ \omega_{ab}^B \end{bmatrix} + \underbrace{\begin{bmatrix} v_{bc}^B \\ \omega_{bc}^B \end{bmatrix}}_{A d T_{bc}}$$

$$[AdT_{cb}]^{-1} = AdT_{cb}^{-1} = AdT_{bc}$$

$$\begin{bmatrix} v_{ab}^B \\ \omega_{ab}^B \end{bmatrix} = -AdT_{ba} \begin{bmatrix} v_{ba}^B \\ \omega_{ba}^B \end{bmatrix}$$

$$AdT_{ab} \cdot T_{bc} = AdT_{ab} \cdot AdT_{bc}$$

• GRASP STATICS



$$T_{aci}, \quad p^o = T_{aci} p^{ci}$$

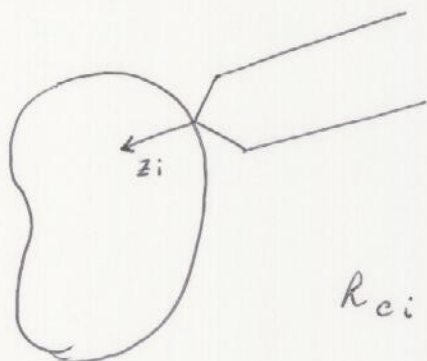
$$T_{aci} = \begin{bmatrix} R_{aci} & O_{ci} \\ 0 & 1 \end{bmatrix}$$

Adesso caratterizziamo i punti di contatto, il caso più semplice p.t.c.

i) SENZA FRIZIONE, detto FRICTIONLESS:

Nel caso di un p.t.c. senza frizione, caratterizziamo le  $\bar{F}$  che:

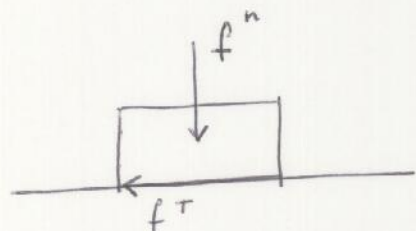
interagiscono



$$R_{ci} = \begin{bmatrix} 0 \\ 0 \\ 1 \\ 0 \\ 0 \\ 0 \end{bmatrix} \cdot f_{ci}, \quad f_{ci} \geq 0, \quad f_{ci} \in \mathbb{R}$$

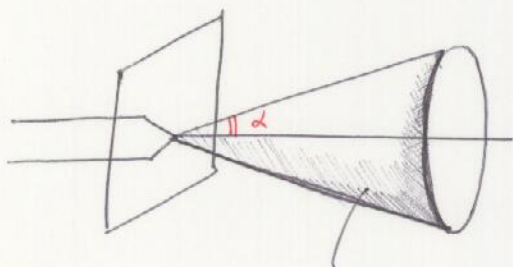
Caso: ho io  $\bar{F}$  solo lungo l'asse  $z$  che è  $\perp$  alla superficie

ii) Il secondo tipo di contatto è: il punto di contatto con  
frizione,

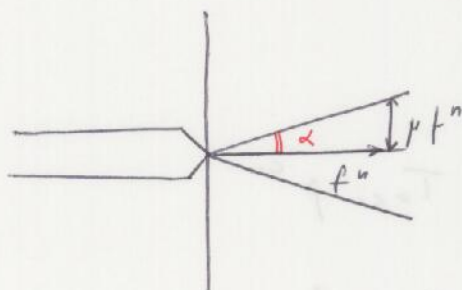


$$\text{VINOLO: } |f^t| \leq \mu f^n$$

$\mu$ : coeff. di attrito (che dipende dai materiali)



Cone di  
attrito  
(all'interno del  
quale ci sono le  
 $\bar{F}$  ammissibili)



$$\mu f^n = \max \{ f^t \}$$

$$\alpha = \tan^{-1}(\mu)$$

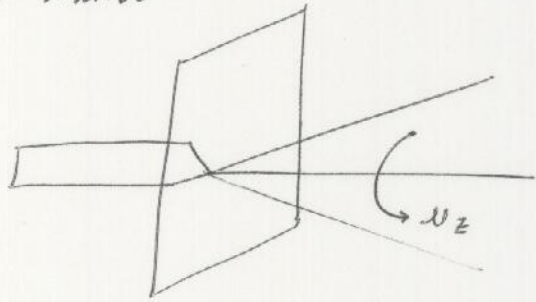
$$h_{ci} = \begin{bmatrix} 1 & 0 & 0 \\ 0 & 1 & 0 \\ 0 & 0 & 1 \\ 0 & 0 & 0 \\ 0 & 0 & 0 \\ 0 & 0 & 0 \end{bmatrix} f_{ci}, \quad f_{ci} \in FC_i$$

$$FC_i = \left\{ f \in \mathbb{R}^3 : \sqrt{f_1^2 + f_2^2} \leq \mu f_3, f_3 > 0 \right\}$$

→ tanto più ravvicino sarà il bulbo e tanto più nera sarà la linea di vista delle due dimensioni x e y

### iii) SOFT FINGER

Così può essere la corrispondenza lungo l'asse Z e la rappresentazione è simile



$$h_{ci} = \begin{bmatrix} 1 & 0 & 0 & 0 \\ 0 & 1 & 0 & 0 \\ 0 & 0 & 1 & 0 \\ 0 & 0 & 0 & 0 \\ 0 & 0 & 0 & 0 \\ 0 & 0 & 0 & 0 \end{bmatrix} f_{ci}, \quad f_{ci} \in FC_i$$

$$FC_i = \left\{ f_{ci} \in \mathbb{R}^4 : \sqrt{f_1^2 + f_2^2} \leq \mu f_3, f_3 > 0, |f_4| \leq 2f_3 \right\}$$

$\gamma$ : coeff. di attacco torsionale

$$f_{ci} = \begin{bmatrix} f_1 \\ f_2 \\ f_3 \\ f_4 \end{bmatrix}$$

$$= \left\{ f_{ci} = \begin{bmatrix} f_x \\ f_y \\ f_z \\ u_z \end{bmatrix} \in \mathbb{R}^4 : \sqrt{f_x^2 + f_y^2} \leq \mu f_z, \quad f_z \geq 0, \quad |u_z| \leq \gamma f_z \right\}$$

$$\left\{ \text{cost}, \text{AAV}^2, \text{AAT}^2, \text{RMSD} \right\} \approx 0.7$$

and matching points and we can see very strict  
with model which is very good.

### Assumption (ii)

movement of a point equal between both camera and object and



$$\left[ \begin{array}{cccc} 1 & 0 & 0 & 0 \\ 0 & 1 & 0 & 0 \\ 0 & 0 & 1 & 0 \\ 0 & 0 & 0 & 1 \end{array} \right] \approx \left[ \begin{array}{cccc} 1 & 0 & 0 & 0 \\ 0 & 1 & 0 & 0 \\ 0 & 0 & 1 & 0 \\ 0 & 0 & 0 & 1 \end{array} \right]$$

$$\left\{ \text{cost}, \text{AAV}^2, \text{AAT}^2, \text{RMSD} \right\} \approx 0.7$$

Dimensional errors & Apes = 8

$$\left[ \begin{array}{c} 1 \\ 1 \\ 1 \end{array} \right] \approx \left[ \begin{array}{c} 1 \\ 1 \\ 1 \end{array} \right]$$